


FTR - Flight Test Report

Dieser Prüfbericht darf ohne schriftliche Zustimmung der EAPR nicht, auch nicht auszugsweise, vervielfältigt werden.

| | | | |
|------------|--|-----------------|-----------------|
| Fabricante |  SOL SPORTS Caixa Postal 370 BR-1180 Rio Molina | Teste número | EAPR-GS-0248/14 |
| | | número de série | 16584 |
| Modelo | Lotus one M | Local | Schruns |
| | | | Gardasee |



Rev. 2.1 - 06.03.2014
 EAPR GmbH - Marktstr. 11
 D-87730 Bad Grönenbach - Germany

| | | | | | |
|--------------------|------------|---------------------------|--|---------------------------|---|
| Data de teste | 26.05.2014 | Peso mínimo de descolagem | 85 kg | Peso máximo de descolagem | 100 kg |
| Piloto de testes | | Hannes Tschofen |  | Mario Eder |  |
| Harnes | | EAPR Equipment | | Eapr Testgurtzeug | |
| Peso de descolagem | | 85 kg | | 100 kg | |

| | |
|---------------|----------|
| Classificação | C |
|---------------|----------|



| Test-critérios | Peso mínimo de descolagem | Avaliação | Peso máximo de descolagem | Avaliação |
|---|----------------------------------|-----------|-------------------------------|-----------|
| 1. Inflar / descolagem - 4.1.1 | | | | |
| Comportamento a subida | Subida regular e facil | A | Subida regular e facil | A |
| Tecnica especial requerida na descolagem | Não | A | Não | A |
| 2. Aterragem - 4.1.2 | | | | |
| Tecnica especial requerida na aterragem | Não | A | Não | A |
| 3. Velocidades em linha recta - 4.1.3 | | | | |
| Velocidade mãos em cima superior a 30km/h | Sim | A | Sim | A |
| Gama de velocidades utilizando mandos superior a 10km/h | Sim | A | Sim | A |
| Velocidade minima | 25 km/h a 30 km/h | B | 25 km/h a 30 km/h | B |
| 4. Força de mandos - 4.1.4 | | | | |
| Peso máximo em voo até 80kg | | - | | - |
| Peso máximo em voo de 80 a 100kg | Aumentando 45cm - 60cm | C | Aumentando 45cm - 60cm | C |
| Peso máximo em voo superior a 100kg | | - | | - |
| 5. Estabilidade de cabeceo a saída de voo acelerado - 4.1.5 | | | | |
| Angulo de cabceo a saída | cabecea menos de 30° | A | cabecea menos de 30° | A |
| Fecho ocorre | Não | A | Não | A |
| 6. Estabilidade de cabeceo acionando mandos em voo acelerado - 4.1.6 | | | | |
| Fecho ocorre | Não | A | Não | A |
| 7. Estabilidade de roll e amortecimento - 4.1.7 | | | | |
| Oscilações | Reduzindo | A | Reduzindo | A |
| 8. Estabilidade em espirais suaves - 4.1.8 | | | | |
| Tendencia a voltar a voo recto | Saida espontânea | A | Saida espontânea | A |
| 9. Comportamento em curva rapida - 4.1.9 | | | | |
| Taxa de descida depois de duas voltas | Mais de 14m/s | B | Mais de 14m/s | B |
| 10. Fecho frontal cimétrico - 4.1.10 | | | | |
| Entrada | Baloça para traz menos de 45° | A | Baloça para traz menos de 45° | A |
| Retoma | Espontâneo em 3 a 5 segundos | B | Espontâneo em 3 a 5 segundos | B |
| Angulo de cabceo a saída | 30° - 60° | B | 30° - 60° | B |
| Castaca ocorre | Entrada em curva de menos de 90° | B | Mantem rumo | B |
| | Não | A | Não | A |
| Entrada | Baloça para traz mais de 45° | C | Baloça para traz mais de 45° | C |
| Retoma | Espontâneo em 3 a 5 segundos | B | Espontâneo em 3 a 5 segundos | B |
| Angulo de cabceo a saída | 30° - 60° | B | 30° - 60° | B |
| Castaca ocorre | Mantem rumo | B | Mantem rumo | B |
| | Não | A | Não | A |
| 11. Saída de perda profunda (parachutagem) - 4.1.11 | | | | |

| | | | | | | | | | |
|--|---|---|---|-----------|----------------------------|------------|--------------------------|-----------|---|
| Perda profunda alcançada | Sim | | Sim | | | | | | |
| Retoma | Espontâneo em menos de 3 segundos | A | Espontâneo em menos de 3 segundos | A | | | | | |
| Angulo de cabceo a saida | 30° - 60° | B | 30° - 60° | B | | | | | |
| Mudança de trajectória | Mudando direcção menos de 45° | A | Mudando direcção menos de 45° | A | | | | | |
| Castaca ocorre | Não | A | Não | A | | | | | |
| 12. Saída de angulo de ataque elevado - 4.1.12 | | | | | | | | | |
| Retoma | Espontâneo em menos de 3 segundos | A | Espontâneo em menos de 3 segundos | A | | | | | |
| Castaca ocorre | Não | A | Não | A | | | | | |
| 13. Saída de perda total - 4.1.13 | | | | | | | | | |
| Angulo de cabceo a saida | 30° - 60° | B | 30° - 60° | B | | | | | |
| Fecho | Nenhum fecho | A | Nenhum fecho | A | | | | | |
| Cascata sucede (para alem de fecho) | Não | A | Não | A | | | | | |
| Baloíça para traz | Menos de 45° | A | Menos de 45° | A | | | | | |
| Tensão de linhas | Tensão de quase todas as linhas | A | Tensão de quase todas as linhas | A | | | | | |
| 14. Fecho assimétrico (mãos em cima) - 4.1.14 | | | | | | | | | |
| Mudança de trajectória até re-inflar | velocidade mãos em cima, max 50% fecho | < 90° | Angulo de cabceo ou roll | 15° - 45° | A | 90° - 180° | Angulo de cabceo ou roll | 15° - 45° | B |
| Comportamento a re-inflar | | Re-inflagem espontânea | | A | Re-inflagem espontânea | | A | | |
| Total mudança de trajectória | | Menos de 360° | | A | Menos de 360° | | A | | |
| Fecho no lado oposto ocorre | | Não | | A | Não | | A | | |
| Twist alcançado | | Não | | A | Não | | A | | |
| Castaca ocorre | | Não | | A | Não | | A | | |
| Mudança de trajectória até re-inflar | velocidade mãos em cima, max 75% fecho | 90° - 180° | Angulo de cabceo ou roll | 60° - 90° | C | 90° - 180° | Angulo de cabceo ou roll | 45° - 60° | C |
| Comportamento a re-inflar | | Re-inflagem espontânea | | A | Re-inflagem espontânea | | A | | |
| Total mudança de trajectória | | Mais de 360° | | C | Menos de 360° | | A | | |
| Fecho no lado oposto ocorre | | Não | | A | Não | | A | | |
| Twist alcançado | | Não | | A | Não | | A | | |
| Castaca ocorre | | Não | | A | Não | | A | | |
| Mudança de trajectória até re-inflar | acelerado, max 50% fecho | 90° - 180° | Angulo de cabceo ou roll | 15° - 45° | B | 90° - 180° | Angulo de cabceo ou roll | 15° - 45° | B |
| Comportamento a re-inflar | | Re-inflagem espontânea | | A | Re-inflagem espontânea | | A | | |
| Total mudança de trajectória | | Menos de 360° | | A | Menos de 360° | | A | | |
| Fecho no lado oposto ocorre | | Não | | A | Não | | A | | |
| Twist alcançado | | Não | | A | Não | | A | | |
| Castaca ocorre | | Não | | A | Não | | A | | |
| Mudança de trajectória até re-inflar | acelerado, max 75% fecho | 90° - 180° | Angulo de cabceo ou roll | 60° - 90° | C | 90° - 180° | Angulo de cabceo ou roll | 45° - 60° | C |
| Comportamento a re-inflar | | infla em menos de 3 segundos após inicio de acção do piloto | | C | Re-inflagem espontânea | | A | | |
| Total mudança de trajectória | | Mais de 360° | | C | Menos de 360° | | A | | |
| Fecho no lado oposto ocorre | | Não | | A | Sim, sem inversão de curva | | C | | |
| Twist alcançado | | Não | | A | Não | | A | | |
| Castaca ocorre | | Não | | A | Não | | A | | |
| 15. Controlo de direcção com fecho assimétrico mantido - 4.1.15 | | | | | | | | | |
| Capacidade de manter rumo | Sim | A | Sim | A | | | | | |
| Possibilidade de virar 180° em sentido oposto do lado fechado | Sim | A | Sim | A | | | | | |
| Percentagem de mando entre virar e perda ou autorotação | 25% a 50% de curso simétrico de mando | C | 25% a 50% de curso simétrico de mando | C | | | | | |
| 16. Tendência de autorotação mãos em cima - 4.1.16 | | | | | | | | | |
| Autorotação ocorre | Não | A | Não | A | | | | | |
| 17. Tendência de autorotação a baixa velocidade - 4.1.17 | | | | | | | | | |
| Autorotação ocorre | Não | A | Não | A | | | | | |
| 18. Recuperação de autorotação - 4.1.18 | | | | | | | | | |
| Angulo de rotação aumenta apos largar | Para rotação em 90° a 180° | C | Para rotação em 90° a 180° | C | | | | | |
| Castaca ocorre | Não | A | Não | A | | | | | |
| 19. Bs - 4.1.19 | | | | | | | | | |
| Mudança de trajectória antes de largar | Mudando direcção menos de 45° | A | Mudando direcção menos de 45° | A | | | | | |
| Comportamento antes de largar | Mantem-se estável com envergadura recta | A | Mantem-se estável com envergadura recta | A | | | | | |
| Recuperação | Espontâneo em menos de 3 segundos | A | Espontâneo em menos de 3 segundos | A | | | | | |
| Angulo de cabceo a saida | 0° - 30° | A | 0° - 30° | A | | | | | |
| Castaca ocorre | Não | A | Não | A | | | | | |
| 20. Orelhas - 4.1.20 | | | | | | | | | |
| Procedimento de entrada | Mandos específicos | A | Técnica standard | A | | | | | |
| Comportamento com orelhas | Voo estável | A | Voo estável | A | | | | | |
| Recuperação | Recuperação por acção de piloto em menos de 3 segundos adicionais | B | Espontâneo em 3 a 5 segundos | B | | | | | |
| Angulo de cabceo a saida | 0° - 30° | A | 0° bis 30° | A | | | | | |
| 21. Orelhas com acelerador - 4.1.21 | | | | | | | | | |
| Procedimento de entrada | Mandos específicos | A | Técnica standard | A | | | | | |
| Comportamento com orelhas | Voo estável | A | Voo estável | A | | | | | |
| Recuperação | Recuperação por acção de piloto em menos de 3 segundos adicionais | B | Espontâneo em 3 a 5 segundos | A | | | | | |
| Angulo de cabceo a saida | 0° - 30° | A | 0° bis 30° | A | | | | | |
| Comportamento imediatamente depois de largar acelerador enquanto se mantem orelhas | Voo estável | A | Voo estável | A | | | | | |
| 22. Comportamento a saída de espiral - 4.1.22 | | | | | | | | | |

| | | | | |
|---|--|----|-------------------------------------|----|
| Tendencia a voltar a voo recto | Saida espontânea | A | Saida espontânea | A |
| Angulo de rotação para recuperar voo normal | Menos de 720°, recuperação espontânea | A | 720° a 1080, recuperação espontânea | C |
| 23. Forma alternativa de controlo de direcção - 4.1.23 | | | | |
| 180° de viragem não obtivel em 20 segundos | Sim | A | Sim | A |
| Perda ou rotação ocorre | Não | A | Não | A |
| 24. Outro procedimento e/ou configuração descrito no manual de utilizador - 4.1.24 | | | | |
| Procedimento funciona como descrito | | NA | | NA |
| Procedimento adaptavel a pilotos principiantes | | NA | | NA |
| Castaca ocorre | | NA | | NA |
| 25. Comentários do piloto de testes: | | | | |
| | | | | |
| | | | | |
| | | | | |
| | | | | |
| Copyright Ralf Antz 2014 | Este relatório de teste foi gerado automaticamente e é valido sem assinatura | | | |